

Температурная зависимость критического поля, определенного описанным способом, показана на рис. 2 точками. Сплошная кривая — температурная зависимость намагниченности кристалла FeBO_3 (или намагниченность подрешеток I) из работы [2]. Видно, что температурная зависимость H_k совпадает с зависимостью $M_s(T)$. На рис. 2, 2 представлена температурная зависимость константы одноосной поверхностной магнитной анизотропии a_k на грани типа (1014). Значения a_k вычислены с помощью формулы

$$a_k = (A H_D / 4B)^{1/2} H_k^{1/4},$$

которую можно получить, используя результаты работы [1]; B — обменная константа; A — обменный параметр; H — поле Дзялошинского (в [1] параметр a_k обозначен через $d-b$). Из этого рисунка видно, что при приближении температуры к точке Нееля a_k довольно быстро уменьшается и стремится к нулю при $T \rightarrow T_N$. В целом зависимость $a_k(T)$ хорошо описывается кривой $M_s^2(T)$ (рис. 2, штрихи). Зависимости $M_s(T)$, $M_s^2(T)$, $a_k(T)$ и $H_k(T)$ нормированы на значение соответствующей переменной при $T=77$ К.

Выше указывалось, что наблюдающаяся магнитная анизотропия на поверхности различных граней кристаллов FeBO_3 может быть описана при учете магнитодипольного взаимодействия приповерхностных магнитных ионов. Поскольку магнитодипольная энергия FeBO_3 пропорциональна $I^2(T)$, а следовательно, $M_s^2(T)$, то отсюда можно сделать вывод о том, что предположение о магнитодипольном происхождении объясняет не только симметрию, величину, но и температурную зависимость поверхностной магнитной анизотропии в кристаллах бората железа.

Список литературы

- [1] Зубов В. Е., Кринчик Г. С., Селезнев В. Н., Стругацкий М. Б. // ЖЭТФ. 1988. Т. 94. № 10. С. 290—300.
- [2] Зубов В. Е., Кринчик Г. С., Селезнев В. Н., Стругацкий М. Б. // Тез. докл. XVIII Всес. конф. по физике магнитных явлений. Калинин, 1988. С. 902—903.
- [3] Кадомцева А. М., Левитин Р. З., Попов Ю. Ф., Селезнев В. Н., Усков В. В. // ФТТ. 1972. Т. 14. № 1. С. 214—217.

Московский государственный
университет им. М. В. Ломоносова
Москва
Симферопольский государственный
университет им. М. В. Фрунзе
Симферополь

Поступило в Редакцию
23 декабря 1988 г.

УДК 537.226.4

Физика твердого тела, том 31, в. 6, 1989
Solid State Physics, vol. 31, № 6, 1989

ДИЭЛЕКТРИЧЕСКИЕ СВОЙСТВА ДЕЙТЕРИРОВАННЫХ КРИСТАЛЛОВ ДИГЛИЦИННИТРАТА

Н. И. Хасиневич, С. В. Родин, Е. Ф. Андреев, В. М. Варикаш

Глицинсодержащий сегнетоэлектрик диглициннитрат (ДГН) по своим структурным, физическим и химическим свойствам тесно примыкает к широко исследуемому и используемому в различных практических устройствах семейству кристаллов триглицинульфата (ТГС). Фазовый переход второго рода типа порядок—беспорядок происходит в ДГН при температуре $T_c=206$ К с изменением точечной группы симметрии $2/m$ в парафазе на m в сегнетофазе [1-4]. Ориентация вектора спонтанной

поляризации P_c не совпадает ни с одной из кристаллографических осей в отличие от кристаллов группы ТГС и близко к направлению [101] [1, 5].

В [6] изучалась температурная зависимость диэлектрической проницаемости ϵ вдоль полярного направления для дейтерированного кристалла диглицидинитрата (ДДГН) со степенью замещения водорода дейтерием порядка 20 %. Согласно полученным экспериментальным данным,

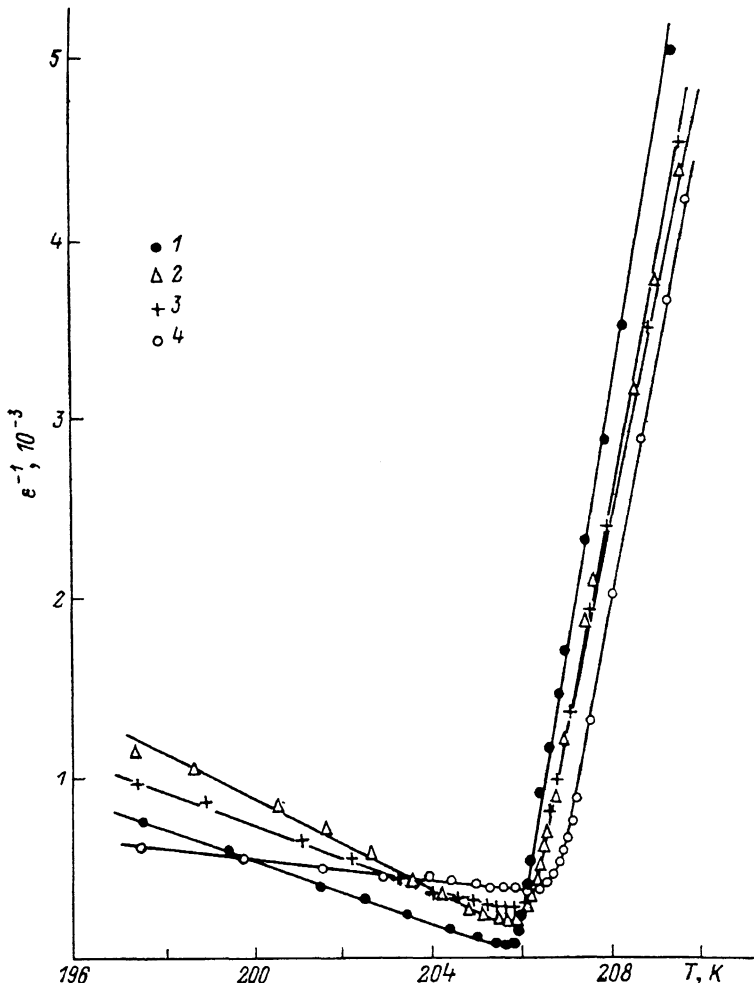


Рис. 1. Температурная зависимость обратных диэлектрических проницаемостей кристаллов.

1 — ДГН, 2 — ДДГН-1, 3 — ДДГН-2, 4 — ДДГН-3.

отношение $\Delta T_c/T_{c,n}$ менее чем 0.1, где $\Delta T_c = T_{c,D} - T_{c,n} = 0.3$ К; $T_{c,n}$ и $T_{c,D}$ — температуры фазового перехода чистого и дейтерированного кристаллов соответственно.

Для выяснения величины изотопического смещения T_c в ДГН в зависимости от степени дейтерирования в настоящей работе было проведено исследование диэлектрических свойств кристаллов с различным содержанием дейтерия в кристаллической решетке трех составов ДДГН.

Монокристаллы ДГН и ДДГН хорошего оптического качества были выращены из насыщенного водного раствора методом понижения температуры. Различное содержание дейтерия в кристалле ДГН обусловлено многократной перекристаллизацией вещества в тяжелой воде. Содержание дейтерия в кристаллах определялось масс-спектрометрическим методом с погрешностью 20 %.

Для исследований были отобраны образцы кристалла ДГН с максимальным значением диэлектрической проницаемости ϵ при T_c и три серии образцов кристаллов дейтерированного диглициннитрата ДДГН-1, ДДГН-2, ДДГН-3, в которых водород замещался дейтерием примерно на 10, 30 и 60 % соответственно. Ориентация образцов для проведения измерений соответствовала выбору кристаллофизических осей ДГН [5].

Измерение диэлектрической проницаемости ϵ проводилось мостовым методом определения емкости образцов с помощью прибора Р591 на частоте 1 кГц при измерительном поле $E \sim 0.5$ В/см. Спонтанная поляризация определялась по петлям диэлектрического гистерезиса с исполь-

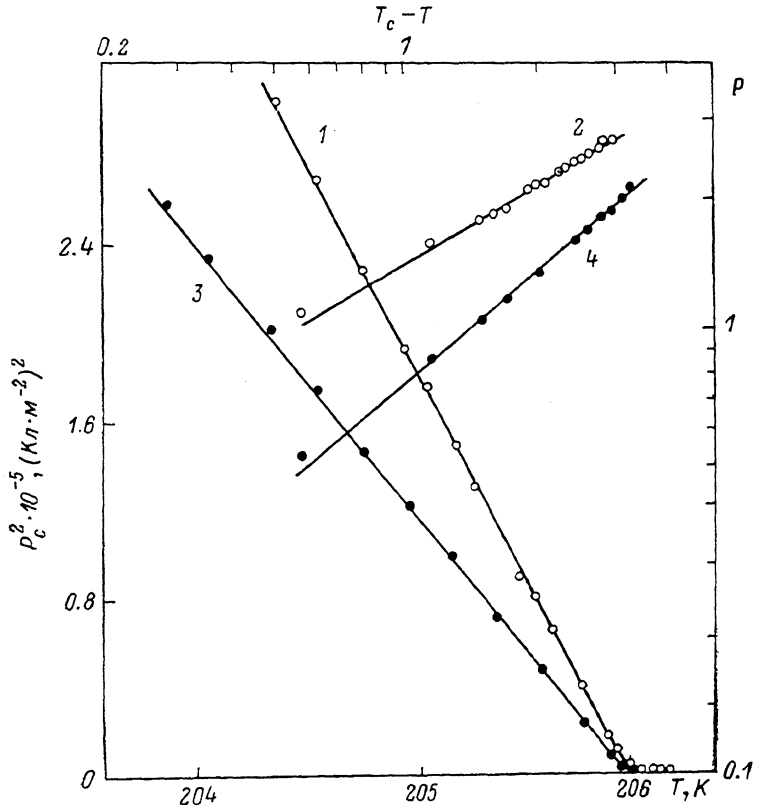


Рис. 2. Зависимости $P^2 = P^2(T)$ и $P = P(T_c - T)$ (в двойном логарифмическом масштабе).

1, 2 — ДДГН-2; 3, 4 — ДГН.

зованием модифицированной схемы Сойера—Таузера на частотах 50 и 1 Гц. Измерение спонтанной поляризации осуществлялось, как и в [6], путем экстраполяции индуцированной части поляризации на петле диэлектрического гистерезиса к значениям $E=0$. Охлаждение образцов проводилось в азотном криостате с точностью стабилизации температуры не хуже ± 0.05 К.

Результаты измерений диэлектрической проницаемости кристаллов ДГН и ДДГН представлены на рис. 1. Из зависимостей $\epsilon^{-1} = \epsilon^{-1}(T)$ видно, что с ростом концентрации дейтерия температура фазового перехода T_c , определяемая экстраполяцией прямолинейного участка кривой $\epsilon^{-1}(T)$ в парафазе до пересечения с осью температур, лишь незначительно смещается в область парафазы. Так, максимальное смещение T_c для ДДГН-3 достигает 0.8 К. Значения постоянной Кюри—Вейса C и коэффициента α' в разложении термодинамического потенциала по степеням поляризации для свободной энергии

$$\Phi = \Phi_0 + \frac{1}{2} \alpha' (T - T_c) P^2 + \frac{1}{4} \rho P^4 \quad (1)$$

практически одинаковы для всех исследуемых кристаллов ($C=890$ К, $\alpha'=1.41 \cdot 10^{-2}$ К $^{-1}$) и хорошо согласуются с данными работ [7, 8]. Измерения компонент тензора диэлектрических проницаемостей ϵ_{11} и ϵ_{33} дейтерированных кристаллов не выявили существенных изменений в характере их температурных зависимостей по сравнению с «чистым» ДГН. Значения постоянных Кюри—Вейсса $C_1=280$ К, а $C_3=660$ К, причем отношение наклонов прямых ϵ_{11}^{-1} кристаллов ДДГН в сегнетофазе и парофазе близко к двум, так же как и для ДГН [7].

На основании измерений параметров петель диэлектрического гистерезиса была получена зависимость P_c кристалла ДДГН-2 от температуры. Изучение зависимостей $P^2(T)$ и $P(T_c - T)$ (рис. 2) показывает, что экспериментальные точки достаточно хорошо укладываются в прямую линию в интервале температур $T_c - T \leq 2$ К. Тангенс угла наклона этих прямых для ДГН и ДДГН-2 близок к 0.5, что согласуется со значениями критического индекса для параметра порядка в феноменологической теории Ландау и результатами работ [4, 5, 8]. Значения коэффициентов β_N и β_D беспрimesного и дейтерированых кристаллов в разложении (1) соответственно равны $11.8 \cdot 10^{-9}$ и $6.1 \cdot 10^{-9}$ ед. СГС.

Следует отметить, что петли диэлектрического гистерезиса образцов ДДГН (на частотах 50 и 1 Гц) были насыщены, прямоугольны, а значения P_c отличались незначительно. Во всех случаях для ДДГН наблюдалось типичное, малое, смещение петель гистерезиса, связанное с наличием в кристалле дейтерия. Например, в ДДГН-3 значение внутреннего смещающего поля не превышало 150 В/см. Двойные петли или другие сильные искажения в исследуемых образцах не наблюдались.

В [6] предполагалось, что отсутствие заметного изотопического сдвига T_c в ДДГН обусловлено наличием одноминимумного потенциала в короткой водородной связи между молекулами глицина О—Н—О, и тем самым эта связь не может играть роль триггера при фазовом переходе. Однако проведенные исследования ядерного квадрупольного резонанса ^{14}N и ^{17}O в кристалле ДГН [4] указывают на тот факт, что при $T > T_c$ в ДГН реализуется фазовый переход типа порядок—беспорядок с характерной двухминимумной потенциальной ямой, а основную роль в механизме возникновения полярного состояния играет переориентация диполей NH_3^+ и NO_3^- групп. Малое изотопическое смещение, по-видимому, связано с незначительным изменением характера движения NH_3^+ групп при замене водорода на дейтерий в кристалле и, кроме того, подтверждает результаты и выводы работ [4, 5, 9] о вкладе групп NO_3^- в формирование спонтанной поляризации диглициннитрата.

Авторы благодарят Л. А. Шувалова и А. И. Барапова за интерес к работе и полезные дискуссии, а также Л. И. Красовскую за помощь в проведении масс-спектрометрического анализа.

Список литературы

- [1] Pepinsky R., Vedam K., Hoshino S., Okaya Y. // Phys. Rev. 1958. V. 111. N 2. P. 430—432.
- [2] Sato S. // J. Phys. Soc. Jap. 1968. V. 25. N 1. P. 185—201.
- [3] Sato Y. // J. Chem. Phys. 1966. V. 45. N 1. P. 275—282.
- [4] Seliger J., Žagir V., Blinc R., Novak A., Rodin S. V. // Ferroelectrics Lett. 1986. V. 6. N. 6. P. 93—102.
- [5] Барапов А. И., Хасиневич Н. И., Родин С. В. // Кристаллография. 1986. Т. 31. № 3. С. 501—504.
- [6] Ichikawa M. // Ferroelectrics. 1981. V. 39. N 3—4. P. 1033—1036.
- [7] Варикаш В. М., Родин С. В. // Кристаллография. 1979. Т. 24. № 2. С. 383—385.
- [8] Струков Б. А., Савилова З. В., Тараскин С. А., Варикаш В. М. // ФТГ. 1986. Т. 28. № 3. С. 733—738.
- [9] Блинц Р., Жекш Б. Сегнетоэлектрики и антисегнетоэлектрики. М.: Мир, 1975. С. 398.

Минский
радиотехнический институт
Минск

Поступило в Редакцию
18 октября 1988 г.
В окончательной редакции
4 января 1989 г.